

ALTERNATIVNI MODEL ZA DIMENZIONIRANJE ČISTILNIH NAPRAV

ALTERNATIVE MODEL FOR THE DESIGN OF WASTE WATER TREATMENT PLANT

prof. dr. Mitja Rismal, univ. dipl. inž. grad.
Barjanska 68, Ljubljana

Strokovni članek
UDK 626:628.32

Povzetek | Članek obravnava dimenzioniranje čistilnih naprav po alternativnem, dopoljenjem modelu glede na model po smernici ATV–A–3. Model vključuje presojo stopnje aerobne stabilizacije in možne proizvodnje bioplina iz razgradljivega primarnega in aerobnega, aktivnega dela biološkega blata v odvisnosti od starosti blata. Obravnavani sta aerobna in anaerobna obdelava blata z energetsko bilanco možnega pridobivanja bioplina in električne energije. Podana je ocena energetske bilance čistilnih naprav v kWh/PE, brez sedimentacije in s primarno sedimentacijo, za različne starosti in specifične obremenitve biološkega blata.

Ključne besede: primarno aktivirano blato, stabilizacija blata, energija biološkega plina

Summary | The paper considers an alternative model for waste water treatment plant design to the model in the directive ATV – A – 3. The model includes the assessment of possible biogas production from the biodegradable organic part of the primary and aerobic activated sludge, depending on its age. By differentiation of degradable and undegradable part of the organic aerobic sludge, the possible biogas, electric energy production is evaluated. An assessment of WWTP energy balance, in terms of kWh/PE for with different sludge age and specific load, with and without primary sedimentation, by different age and specific load of the activated sludge, is given.

Key words: primary activated sludge, stabilisation of sludge, biogas energy

1 • UVOD

Obravnavani predlog za dimenzioniranje čistilnih naprav se razlikuje od metode ATV–A–3 ((Imhoff, 1999), (Imhoff, 2007)), da namesto predpostavljenega razmerja $0,60 \cdot X_{TSS} = X_{nbVSS} + X_{iTSS}$ (Walder,2011) uporabi v odpadni vodi ločeno meritev usedljivih mineralnih in inertnih organskih delcev z BPK_5 , kot je predstavljeno na sliki 1.

Z uporabo koeficijenta X_d (1/d) (Eckenfelder,1989) pa za razliko od ATV omogoča tudi presojo stopnje aerobne stabilizacije blata

v $\text{kgO}_2/\text{kgVSS.d}$, presojo količine bioplina in energije iz anaerobne presnove $X_{n\theta}$ proizvedenega razgradljivega organskega dela odvečnega biološkega blata.

Rezultati obravnavanega modela so primerjani z ATV–A–3 (Imhoff,2007) in s podatki empiričnih meritev na čistilnih napravah (Ulrich,2001).

2 • ZASNOVA MODELA

Model je zasnovan na podatkih (preglednica 1) o lastnostih surove odpadne vode (Imhoff, 2007) in na shematsko predstavljeni biokemični

asimilaciji in disimilaciji organskega onesnaženja v organsko maso heterotrofov (slika 1).

Model obravnava le oksidacijo organskega ogljika, ne pa členov za nitrifikacijo, denitrifikacijo in defosfatizacijo efluentu:

$$\theta_{(nitrif.-denitrif.)} = \frac{\theta_{nitrifikacije}}{1-V_D/V_{TOT}} \text{ in } \frac{NO_3}{BPK_5} = 0,8 \frac{0,75 \cdot O_{2C}}{2,9} \frac{V_D}{V_{TOT}},$$

ki jih je mogoče v model vključiti.

	min.	org.	skupaj	BPK ₅
	(g/m ³)			
Usedljive snovi	100	150	250	100
Neusedljive lebdeče snovi	25	50	75	50
Raztopljene snovi	375	250	625	150
Skupaj	500	450	950	300

Preglednica 1 • Sestava odpadnih voda (Imhoff, 1999)

V aerobnem reaktorju čistilne naprave. (preglednica 1) brez primarnega usedalnika postane 100 g/m³ usedljivih mineralnih in 25 g/m³ lebdečih inertnih snovi iz odpadne vode del proizvedene mase biološkega blata. Organsko onesnaženje 450 g/m³, izraženo s 300 g BPK₅ (porabo kisika v 5 dneh), pa se asimilira kot drugi, biološko aktivni del celotne mase biološkega blata.

Koncentracija (slika 1) nerazgradljivega anorganskega in inertnega organskega onesnaženja odpadne vode je označena s C_{in}. Organski del C_{BPK5}, ki se, kot rečeno, z eksogeno respiracijo asimilira v organsko maso heterotrofov s koncentracijo X_{θ=0} (slika 1), v fazi θ (dni) pa se z endogeno respiracijo zmanjša na X_θ kgVSS/m³ heterotrofov s koncentracijo biološko razgradljivega dela X_{vθ} in nerazgradljivega X_{nθ}.

V nadaljevanju pomeni:

C_{TOT} (kgSS/m³) koncentracija skupnega organskega in inertnega mineralnega onesnaženja odpadne vode

C_{in} (kg/m³) koncentracija inertnega organskega in mineralnega onesnaženja odpadne vode

C_i (kgBPK₅/m³) organsko, biološko razgradljivo onesnaženje surove odpadne vode

C (kgBPK₅/m³) koncentracija BPK5 očiščene odpadne vode

Y = 0,6 (kgVSS/kgBPK₅) koeficient prirasta organske mase heterotrofov biološkega blata v procesu sinteze

X_θ = 0 (kgVSS/kgBPK₅) koncentracija v sintezi proizvedene mase heterotrofov biološkega blata

X_d = 0,8 (kgX_{vθ=0}/kgX_{θ=0}) razgradljivi del v sintezi proizvedene celotne organske mase heterotrofov biološkega blata

X_{vθ=0} (kgVSS/m³) koncentracija v sintezi proizvedene razgradljive organske mase biološkega blata

X_{vθ} (kgVSS/m³) koncentracija biološko razgradljive mase biološkega blata po endogeni respiraciji θ dni

X_{nθ=0} (kgVSS/m³) koncentracija inertne mase heterotrofov v sintezi proizvedene organske mase biološkega blata

X_{nθ} = 0,2 (kgX_{nθ=0}/kgX_{θ=0}) nerazgradljivi del X_{θ=0} v sintezi proizvedene organske mase biološkega blata

X_d del razgradljivega organskega blata po endogeni respiraciji

X_{nθ} (kgVSS/m³) koncentracija nerazgradljivega dela v organskem blatu po endogeni respiraciji

X_θ (kgSS/m³) koncentracija razgradljivega in nerazgradljivega biološkega blata po endogeni respiraciji pri starosti blata θ dni.

X_{in} (kgSS/m³) koncentracija mineralnih in biološko nerazgradljivih snovi v biološkem blatu

X_{TSS} (kg/m³) totalna količina suspendiranih snovi v odpadni vodi na vtoku v čistilno napravo

X_{nθ} (kgVSS/m³) inertne organske snovi heterotrofov nad 0,45 µm

X_{TSS} (kg/m³) koncentracija inertne mineralne snovi nad 0,45 µm

θ (dni) starost biološkega blata

k_d = 0,08 (1/d) koeficient razgradnje v endogeni respiraciji, v eksogeni respiraciji – sintezi proizvedenega razgradljivega in nerazgradljivega organskega dela biološkega blata

F = 1,072^(T-15) temperaturni koeficient korekcije poteka reakcij

T (°C) temperatura vode v aerobnem reaktorju

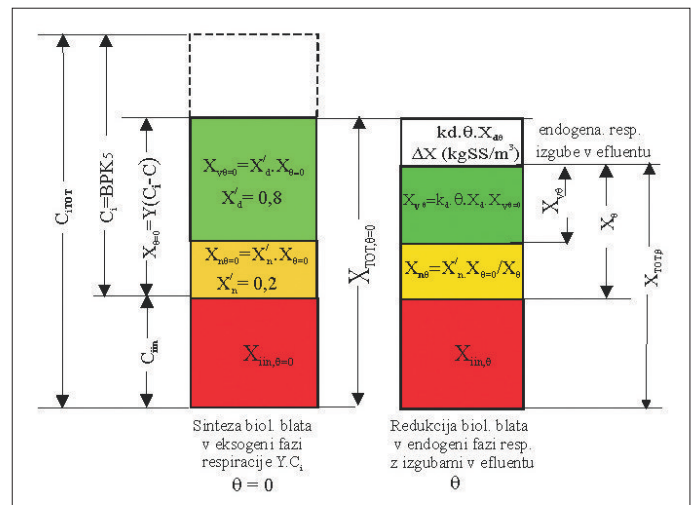
O_{2C} (kgO₂/d) poraba kisika za oksidacijo organskega ogljika

V_{TOT} (m³) prostornina aerobnega reaktorja

V_N (m³) prostornina aerobnega reaktorja za nitrifikacijo

V_D (m³) prostornina reaktorja za denitrifikacijo

W_θ kgSS količina celotne mase biološkega blata v reaktorju



Slika 1 • Shema količine (obarvane površine) in koncentracij (X) asimiliranega onesnaženja odpadne vode v fazah biokemične sinteze in endogene respiracije biološkega blata v aerobnem reaktorju pri starosti blata θ (dni)

Pri starosti biološkega blata v aerobnem reaktorju θ (dni) se iz odpadne vode v biološkem blatu akumulira vsa količina nerazgradljivih organskih in mineralnih snovi s koncentracijo X_{in,θ}=0.

Koncentracija razgradljivega dela iz organskega onesnaženja asimilirane organske mase heterotrofov X_{θ=0} pa se med endogeno respiracijo zmanjša na X_{vθ}, koncentracija celotne organske mase heterotrofov pa na X_θ.

Koeficient zmanjšanja X_d (Eckenfeler, 1989) je določen po enačbah 1, 2 in 3:

$$X_{n,\theta=0}' * X_{\theta=0} = X_{n\theta} * X_{\theta} \quad (1)$$

$$X'_d + X'_n = 1 ; \quad X_{d\theta} + X_{n\theta} = 1 ; \quad X_{n\theta} = 1 - X_{d\theta} \quad (2)$$

$$X'_n * X_{\theta=0} = X_{n\theta} * X_\theta \rightarrow \rightarrow \rightarrow X_n = X'_n \frac{X_{\theta=0}}{X_\theta} \rightarrow \rightarrow \rightarrow X_{\theta=0} \cdot X'_d - k_d \cdot X_d \cdot X_\theta \cdot \theta_c \cdot F = X_n \cdot X_\theta$$

$$X_d = \frac{X'_d}{1 + k_d * X'_n * \theta_c * F} \left(\frac{\text{kgVSS}_d}{\text{kgVSS}} \right) \quad (3)$$

3 • MASNA BILANCA ASIMILIRANEGA ORGANSKEGA DELA (HETEROOTROFOV) BIOLOŠKEGA BLATA

Masna bilanca heterotrofov – organskega dela biološkega blata – pri obremenitvi aerobnega reaktorja L (kgBPK₅/kgVSS.d) je določena po enačbah od 3 do 6 in po enačbi 7:

$$V * \frac{dX_\theta}{dt} = \eta * Y * L - k_d * X_d * X_{\theta V} * V * F \quad (4)$$

$$\underbrace{V * \frac{dX_\theta}{dt}}_{\text{Neto prirast}} = \underbrace{\frac{dW_\theta}{dt}}_{\text{asimilacija}} = \underbrace{\eta * Y * L}_{\text{in}} - \underbrace{k_d \frac{X'_d}{1 + k_d * X'_n * \theta * F} X_{\theta V} * V * F}_{\text{disimilacija heterotrofov}} : (X_\theta * V) = (5)$$

$$\frac{dX_\theta \cdot V}{dt \cdot V \cdot X_\theta} = \frac{1}{\theta} = Y * \eta * \frac{L}{V \cdot X_{\theta V}} - \frac{k_d * X'_d * F}{1 + k_d * X'_n * \theta * F} \quad (6)$$

$L_{sv} = \frac{L}{V \cdot X_{\theta V}}$ specifična obremenitev organske mase iz enačbe 6 pa:

$$L_{sv} = \frac{1 + k_d * \theta * F}{\eta * Y * \theta * (1 + k_d * X'_n * \theta * F)} \left(\frac{\text{kgBPK}_5}{\text{kgVSS}} \right) \quad (7)$$

Priprast Y_{obs} organske mase biološkega blata – heterotrofov – pri starosti biološkega blata θ iz zgornje enačbe 7 pa je:

$$Y_{obs} = \frac{1}{L_{sv} * \theta} = \frac{\eta * Y * (1 + k_d * X'_n * \theta * F)}{1 + k_d * \theta * F} \left(\frac{\text{kgSS}_{org}}{\text{kgBPK}_5} \right) \quad (8)$$

Pri dnevni obremenitvi aerobnega reaktorja

$$L_{TOT} = \eta * Q * C_i (\text{kgBPK}_5 / d) \quad (9)$$

Pri specifični obremenitvi LSV organskega dela biološkega blata s starostjo θ (dni) in koncentracijo X_θ (slika 1) znaša celotna masa W_θ (kgVSS) biološko aktivnega blata heterotrofov v reaktorju:

$$W_\theta = \frac{L_{TOT}}{L_{sv}} (\text{kgVSS}) \text{ s koncentracijo organskega dela blata – heterotrofov:} \quad (10)$$

$$X_\theta = W_\theta / V (\text{kgVSS/m}^3) \quad (11)$$

4 • SKUPNA MASNA BILANCA ORGANSKEGA IN NERAZGRADLJIVEGA INERTNEGA DELA BLATA

Celotna akumulirana količina inertnega onesnaženja mineralnega izvora v reaktorju v θ dneh je:

$$W_{iin} = \theta * Q * C_{in} \quad \text{s koncentracijo:} \quad (12)$$

$$X_{iin} = W_{iin}/V \quad (\text{kg/m}^3) \quad \text{inertnega onesnaženja} \quad (13)$$

Skupna masa organskih in mineralnih snovi biološkega blata v reaktorju pa je:

$$W_{TOT} = W_{\theta V} + W_{iin} \quad (\text{kgSS}) = Q * C_i / L_{sv} + \theta * Q * C_{in} \quad (\text{kgSS}) \quad (14)$$

Specifična obremenitev biološkega blata L_{TOT} (organskega in mineralnega dela) z upoštevanjem enačb 7, 10, 12, 13 in 14 pa:

$$L_{STOT} = \frac{L_{TOT}}{W_{TOT}} = \frac{1}{\frac{1}{L_{sv}} + \theta \frac{C_{in}}{C_i}} \quad (\text{kgBPK}_5 / \text{kgSS}) \quad (15)$$

5 • PRIMERJAVA PRIRASTA BIOLOŠKEGA BLATA V AEROBNEM REAKTORU PO ALTERNATIVNEM IN ATV-MODELU

Skupni prirast organske in anorganske mase biološkega blata Y_{TOT} določimo z enačbo:

$$Y_{TOT} = \frac{1}{\theta * L_{STOT}} \quad (\text{kgSS/kgBPK}_5 \cdot \text{d}) \quad (16)$$

$0,6 \cdot (X_{TS,ZB}/C_{BSB5})$ C_{in}/C_i	Y_{TOT} (kgSS/kgBPK ₅)					
	(dni) starost biol. blata					
	4	8	10	15	20	25
0,24	0,75	0,69	0,67	0,62	0,59	0,56
0,36	0,85	0,79	0,77	0,72	0,69	0,66
0,48	0,97	0,91	0,89	0,84	0,81	0,78
0,6	1,09	1,03	1,01	0,96	0,93	0,90
0,72	1,21	1,15	1,13	1,08	1,05	1,02

Preglednica 3 • Prirast biološkega blata Y_{TOT} po alternativni metodi

Vrednosti Y_{TOT} v preglednicah 3 in 4 alternativnega modela in ATV-A-3 modela za proizvodnjo odvečnega blata pri enaki starosti biološkega blata θ dni in enaki obremenitvi biološkega blata v reaktorju L_{STOT} (kgBPK₅/kgSS.d) so praktično enaki.

$X_{TS,ZB}/C_{BSB5}$	Y_{TOT} (kgSS/kgBPK ₅)					
	(dni) starost biološkega blata					
	4	8	10	15	20	25
0,24	0,79	0,69	0,65	0,59	0,56	0,53
0,36	0,91	0,81	0,77	0,71	0,68	0,65
0,48	1,03	0,93	0,89	0,83	0,80	0,77
0,6	1,15	1,05	1,01	0,95	0,92	0,89
0,72	1,27	1,17	1,13	1,07	1,04	1,01

Preglednica 4 • Prirast biološkega blata Y_{TOT} po ATV-A-3 (Imhoff,2007)

6 • PRIMERJAVA VELIKOSTI AEROBNIH REAKTORJEV PO ALTERNATIVNEM IN ATV-MODELU

Po enačbi 17 je za enako obremenitev reaktorja $L_{TOT} = 1000 \text{ kg BPK}_5/\text{d}$ z enako izbrano koncentracijo blata $X_{TOT} = 5,0 \text{ (kgSS/m}^3)$, kot kaže preglednica 5, tudi prostornina aerobnega reaktorja po obeh metodah praktično enaka.

Potrebna velikost reaktorja, to je aeracijskega bazena, pa je:

$$V = \frac{L_{TOT}}{L_{STOT} * X_{TOT}} \quad (\text{m}^3) \quad (17)$$

Starost b.b.	V(m ³)	V(m ³)	V(m ³)	V(m ³)	V(m ³)
θc	ATV = $1,2X_{TS}/kgBPK_5$	ATV = $1,0X_{TS}/BPK_5$	ATV = $0,8X_{TS}/BPK_5$	ATV = $0,6X_{TS}/BPK_5$	ATV = $0,4X_{TS}/BPK_5$
dni	C _{iin} /C _i = 0,72	C _{iin} /C _i = 0,6	C _{iin} /C _i = 0,48	C _{iin} /C _i = 0,36	C _{iin} /C _i = 0,24
4	762	690	618	546	474
8	1.404	1.260	1.116	972	828
10	1.695	1.515	1.335	1.155	975
15	2.408	2.138	1.868	1.598	1.328
20	3.120	2.760	2.400	2.040	1.680
25	3.788	3.338	2.888	2.438	1.988

Preglednica 5 • Velikost aerobnih reaktorjev V(m³) po ATV za X_{TS}/BPK₅ pri obremenitvi aeracijskega reaktorja z 10.000 PE (600 kgBPK₅/d) in koncentraciji biološkega blata 5,00 kgSS/m³ s pripadajočimi vrednostmi odpadne vode C_{iin}/C_i

Starost b.b.	V(m ³)	V(m ³)	V(m ³)	V(m ³)	V(m ³)
θc	ATV = $1,2X_{TS}/BPK_5$	ATV = $1,0X_{TS}/kgBPK_5$	ATV = $0,8X_{TS}/BPK_5$	ATV = $0,6X_{TS}/BPK_5$	ATV = $0,4X_{TS}/BPK_5$
dni	C _{iin} /C _i = 0,72	C _{iin} /C _i = 0,6	C _{iin} /C _i = 0,48	C _{iin} /C _i = 0,36	C _{iin} /C _i = 0,24
4	724	652	580	508	436
8	1.378	1.234	1.090	946	802
10	1.688	1.508	1.328	1.148	968
15	2.432	2.162	1.892	1.622	1.352
20	3.144	2.784	2.424	2.064	1.704
25	3.836	3.386	2.936	2.486	2.036

Preglednica 6 • Velikost aerobnega reaktorja V(m³), po alternativni metodi, za C_{iin}/C_i, pri obremenitvi aeracijskega reaktorja z 10.000 PE (600 kgBPK₅/d) in koncentraciji biološkega blata 4,00 kgSS/m³ s pripadajočimi vrednostmi odpadne vode po ATV za X_{TS}/BPK₅

7 • PRIMERJAVA PORABE KISIKA PO ALTERNATIVNEM IN ATV-MODELU

Skupna poraba kisika za eksogeno in endogeno respiracijo biološkega blata na enoto eliminiranega onesnaženja odpadne vode $\Delta L = \text{kgBPK}_5/\text{d}$ pa znaša:

$$\frac{O_{2C}}{L_{TOT}} = \frac{O_2}{\eta * L_{TOT}} = a + \frac{b * Y * X_d' * \theta * F}{1 + kd * X_n' * \theta * F} (\text{kgO}_2 / \text{kgBPK}_5) \quad (18)$$

V preglednicah 3 do 9 podani rezultati enačb obravnavanega modela 1 do 26 za temperaturo 10 °C v aerobnem reaktorju se praktično ujemajo s podatki za specifično proizvodnjo odvečnega blata (kgSS/kgBPK₅) ATV-A-3 preglednici štev. 29 (Imhoff, 2007) pri temperaturi vode 10 ° do 12 °C.

Pri tem upoštevamo, da je v alternativnem modelu pod C_{iin} upoštevana v surovi odpadni vodi skupna koncentracija usedljivih nerazgradljivih organskih in mineralnih snovi proti po ATV določenih (X_{TS,ZB}/C_{BSB}) na membranskem filtru 0,45 mm zadržanih snovi:

$$C_{iin}/C_i = 0,6. (X_{TS,ZB}/C_{BSB})$$

Ocena možne pridobitve bioplina po obravnavanem modelu v preglednici 8 je znatnej z meritvami ugotovljenih vrednosti v preglednici 9. Enako s podatki (Imhoff, 2007) na strani 331.

Razlike v porabi kisika v preglednicah 8 in 9 niso velike. Nastanejo pa, ker alternativni model upošteva le porabo kisika od razgradljivega dela, ne pa od celotne organske mase heterotrofov v proizvedenem odvečnem blatu aerobnega reaktorja.

temperatura	θ (dni) starost biol. blata					
	4	8	10	15	20	25
10	0,75	0,85	0,93	0,99	1,13	1,23
12	0,78	0,88	0,97	1,04	1,18	1,27
15	0,83	0,94	1,03	1,11	1,25	1,34
18	0,89	1,01	1,10	1,18	1,32	1,41
20	0,93	1,05	1,15	1,23	1,36	1,45

Preglednica 8 • Poraba kgO₂/BPK₅ po ATV - A - 3

Temperatura	θ (dni) starost biol. blata					
	4	8	10	15	20	25
10	0,85	0,99	1,04	1,13	1,13	1,22
12	0,78	0,88	0,97	1,04	1,18	1,24
15	0,83	0,94	1,03	1,11	1,25	1,27
8	0,89	1,01	1,10	1,18	1,32	1,30
20	0,93	1,05	1,15	1,23	1,36	1,32

Preglednica 9 • Poraba kg O₂/kgBPK₅ po alternativni metodi

8 • PRESOJA STABILIZACIJE AEROBNEGA BIOLOŠKEGA BLATA

Poraba kisika za endogeno respiracijo na enoto teže razgradljivega dela organskega dela biološkega blata $X_{v\theta}$ je (slika 1):

$$O_2 = X_{v\theta} * b * F(kgO_2 / kgVSSd) \quad (19)$$

Stopnja aerobne stabilizacije blata, izražena s porabo $kgO_2/kgVSS$ - (X_θ sliki 1) – organskega dela blata (slika 1), ki naj bo manjša od $0,1kgO_2/kgVSS$ (Imhoff, 2007), je odvisna od starosti in temperature blata θ dni po enačbi:

$$O_2/X_\theta = X_{\theta V}.b.F/X_\theta (kgO_2/kgVSS.d) \leq 0,1(kg O_2/kgSS) \quad (20)$$

θ	$kgO_2/kgVSS$	$kgO_2/kgVSS$	$kgO_2/kgVSS$
dni	T = 10 °C	T = 15 °C	T = 20 °C
1	0,13	0,19	0,27
4	0,13	0,18	0,25
6	0,13	0,18	0,24
8	0,12	0,17	0,23
10	0,12	0,17	0,22
15	0,12	0,15	0,20
20	0,11	0,15	0,19
25	0,11	0,14	0,17
35	0,10	0,12	0,15
40	0,09	0,12	0,14
50	0,09	0,11	0,13

Preglednica 7 • Poraba kisika na 1 kg organskega dela aerobnega biološkega blata pri starosti blata θ dni

Poraba kisika v preglednici 7 kaže na vpliv temperature, ki se med letom spreminja, na stabilizacijo aerobnega blata. Endogena respiracija blata kot merilo za doseženo stabilnost je bolj odvisna od temperature kot od specifične obremenitve oziroma starosti blata.

Uspešno in ceneno dodatno stabilizacijo in higienizacijo blata za sezonsko uporabo blata na poljih je mogoče dosegči že v enostavnih depojskih bazenih. To je pred leti, poleg drugih primerov, z analizami aerobnega in na depojskem bazenu stabiliziranega blata na čistilni napravi Žalca v Kasazah potrdil tudi prof. dr. Amon. To je za načrtovanje čistilnih naprav, kjer je dovolj kmetijskih površin, primerna rešitev.

9 • BIOPLIN IZ ANAEROBNEGA REAKTORJA IN ELEKTRIČNA ENERGIJA ČISTILNE NAPRAVE BREZ PRIMARNE SEDIMENTACIJE ODPADNE VODE IN Z NJO

Ocene proizvodnje bioplina v anaerobnem reaktorju iz odvečnega biološko razgradljivega blata aerobnega reaktorja v preglednici 11 smo opravili za 3 primere:

- za čistilno napravo brez primernega usedalnika,
- za čistilno naprave z velikim usedalnikom, zaradi katerega odpade od $60 g BPK_5/PE$ na aeracijski reaktor le $35 g BPK_5/PE$ onesnaženja, $25 g BPK_5/PE$ pa odpade na anaerobni reaktor in
- aerobni reaktor prevzame $48 g BPK_5/PE$, $12 g BPK_5/PE$ pa odpade na anaerobni reaktor.

1. Ocena bioplina iz odvečnega razgradljivega organskega dela blata aerobnega reaktorja

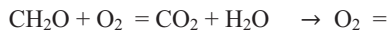
Na populacijsko enoto 1 PE ($60 g BPK_5$) odpadne vode se asimilira $0,060.X_d \left(\frac{kgVSS}{PE} \right)$

razgradljive organske mase odvečnega aerobnega blata X_θ (slika 1). Pri poenostavitvi za $1,0 kgVSS = 1,0 kgCH_2O$ z molekularno maso $30 g/mol$ nastane za $22,4 l/mol$ pri anaerobni razgradnji iz $1 kgVSS$ $745 l (CH_4 + CO_2)$ in na 1 PE:

$$\frac{l(\text{bioplina})}{PE.d} = \frac{0,06 \left(\frac{kgBPK_5}{PE} \right) * X_d \left(\frac{kgVSS_d}{kgVSS} \right) * 746,667 \left(\frac{1 \text{ bioplina}}{kgVSS} \right)}{L_{sv} \left(\frac{kgVSS}{kgBPK_5} \right) * \theta(d)} \quad (21)$$

2. Ocena proizvodnje bioplina v anaerobnem reaktorju iz blata primarnega usedalnika z obremenitvijo 35 g BPK₅/PE (pri velikem primerenem usedalniku) in 12 g BPK₅/PE (pri manjšem usedalniku). Količino proizvedenega bioplina za obe obremenitvi smo ocenili po naslednjih relacijah:

Enota onesnaženja BPK₅ (mgO₂/l) odpadne vode je le 68,4 % porabe kisika BPK (mgO₂/l) za razgradnjo celotnega organskega onesnaženja:



$$= \text{BPK}(\text{mgO}_2/\text{l}) = 1,46 \text{ BPK}_5 (\text{mgO}_2/\text{l})$$

$$\text{CH}_2\text{O} (\text{molov}) = \text{O}_2(\text{molov}) \text{BPK} \cong 1,46 \text{ BPK}_5 \quad (22)$$

Po navedenih relacijah med BPK₅, BPK in CH₂O z molekularno težo 30 g/mol

Iz anaerobnega reaktorja je mogoče po poenostavljeni oceni pridobi na 1 PE naslednje količine bioplina:

- pri obremenitvi reaktorja s 35 % kgBPK₅ od celotne obremenitve čistilne naprave:

$$(60-25)/60 * 1,46 * 22,4 = 19,08 \text{ l/PE bioplina (CH}_4+\text{CO}_2\text{)} \quad (23)$$

- če je reaktor obremenjen z 12 % kgBPK₅ celotne obremenitve čistilne naprave:

$$(60-48)/60 * 1,46 * 22,4 = 6,54 \text{ l/PE bioplina (CH}_4+\text{CO}_2\text{)} \quad (24)$$

Rezultati proizvedenega bioplina in energije s poenostavljivo organsko onesnaženja z CH₂O so podani v preglednici 10. Po izračunu količine bioplina na 1 PE sta prostornini CH₄, in CO₂ iz odvečnega aerobnega blata v anaerobnih reaktorjih in iz primarnega usedalnika enaki.

Organski del blata v anaerobnih reaktorjih so kompleksni polimeri z drugačnim razmerjem med ogljikom

C in vodikom H od v računu privzetega razmerja 50 % : 50 %. To razmerje je 70 % : 30 %. Zato smo v računu upoštevali energetsko moč pridobljenega bioplina le 5,0 kWh/m³, kar ustreza izmerjeni vrednosti bioplina 7,0 kWh/m³ s ca. 70 % metana in ca. 30 % CO₂.

starost biol. blata	60 g (BPK ₅ /PEd) v aerobni reaktor				25 g(BPK ₅ /PEd) v aerobni reaktor 35 g (BPK ₅ /PEd) v primarni usedalnik				48 g(BPK ₅ /PE v aerobni reaktor 12 g (BPK ₅ /PEd) v primarni usedalnik			
	θ (dni)	kgVSS/ kgBPK ₅ .d	bioplín iz l/PE.d	kWh/PEd	bioplín aerob. blata	bioplín prim. blata	bioplín skupaj	kWh/PE.d	bioplín aerob. blata	bioplín prim. blata	bioplín skupaj	kWh/PE.d
1	0,43	19,34	0,039	8,06	19,08	27,13	0,054	15,47	6,54	22,01	0,044	
4	0,37	16,66	0,033	6,94	19,08	26,02	0,052	13,33	6,54	19,87	0,040	
6	0,34	15,26	0,031	6,36	19,08	25,43	0,051	12,20	6,54	18,75	0,037	
8	0,31	14,07	0,028	5,86	19,08	24,94	0,050	11,25	6,54	17,80	0,036	
10	0,29	13,05	0,026	5,44	19,08	24,52	0,049	10,44	6,54	16,98	0,034	
15	0,25	11,06	0,022	4,61	19,08	23,68	0,047	8,85	6,54	15,39	0,031	
20	0,21	9,59	0,019	4,00	19,08	23,07	0,046	7,67	6,54	14,21	0,028	
25	0,19	8,47	0,017	3,53	19,08	22,61	0,045	6,77	6,54	13,31	0,027	
35	0,15	6,86	0,014	2,86	19,08	21,94	0,044	5,49	6,54	12,03	0,024	
40	0,14	6,27	0,013	2,61	19,08	21,69	0,043	5,01	6,54	11,55	0,023	
50	0,12	5,34	0,011	2,23	19,08	21,30	0,043	4,27	6,54	10,81	0,022	

Preglednica 10 • Proizvodnja organskega bioškega blata s proizvodnjo bioplina v (l/PE) in električne energije v kWh/PE

Na čistilni napravi 100.000 PE z nitrifikacijo in denitrifikacijo je mogoče pridobiti 2000 m³ bioplina s 170 kW električne moči (Imhoff, 2007). Po obravnavanem modelu pa (pri starosti aerobnega blata 15 dni) $19,08 \text{ l/PE}^*100.000\text{PE} = 1908 \text{ m}^3$ bioplina in z $0,047 \text{ kWh/PE}^*100.000/24 = 169 \text{ kW}$ električne moči.

Po podatku (Imhoff, 2007), da potrebujejo čistilne naprave z nitrifikacijo in denitrifikacijo na 2,5 kW/1.000 PE ali 0,06 kWh/PE, je mogoča po obeh preglednicah 10 in 11 presoditi možno stopnjo energetske samoskrbe čistilnih naprav s primereno sedimentacijo in brez nje pri različnih specifičnih obremenitvah aerobnih reaktorjev oziroma pri različnih starostih biološkega blata.

V preglednici 10 so rezultati obravnavanega modela o možni pridobitvi bioplina na čistilnih napravah brez primarnih usedalnikov in z njimi za

aerobno čiščenje za ilustracijo s starostmi biološkega blata od 1 do 50 dni.

Za naprave z nitrifikacijo in denitrifikacijo efluenta, ki se danes gradijo, so aktualne, odvisno od razmerja N/BPK₅ v odpadni vodi, predvsem naprave s starostjo biološkega blata med 8 do 25 dni.

Ekstremne količine v preglednici 11 po meritvah pridobljenega bioplina na takšnih čistilnih napravah se praktično ujemajo z izračunanimi rezultati obravnavanega modela. To je razumljivo, ker model obravnava teoretično popolno konverzijo organskega C v metan. Približno za 30 % manjša količina bioplina je izmerjena le pri napravah brez primerne sedimentacije. Vzrok je lahko manjše število opazovanih čistilnih naprav ali – kot je vidno iz preglednice 10 – da delujejo pri večji starosti biološkega blata.

	Način čiščenja odpadne vode	θ (dni) starost biol. blata	Obremenitev biološkega reaktorja z BPK ₅ /PE,dan	(l/PE,dan) biol. plin po alternat. modelu	Proizvodnja biol. plina (l/PE,dan) po Ulrich Loll
1	Predčiščenje v velikem primarnem usedalniku (Nitrifikacija poleti z delno denitrifikacijo)	8	35	24,94	16,5–25 20,7
2	Predčiščenje v velikem primarnem usedalniku Nitritifikacija in denitrifikacija	15	35	23,68	14,5–22 18,3
3	Predčiščenje v manjšem primarnem usedalniku Nitritifikacija, denitrifikacija	15	48	15,39	10,5–15,9 13,2
4	Brez primarnega usedalnika	15	60	11,06	6,2–9,4 7,8
5	Aerobna stabilizacija brez primarnega usedalnika	25	60	8,47	3,5–5,3 4,4

Preglednica 11 • Primerjava alternativnega modela s potencialom biološkega plina iz blata čistilnih naprav (Loll, 2001)

10 • SKLEP

Na sliki 1 je podana shema procesov čiščenja v alternativnem modelu upoštevanih procesov čiščenja na bioloških čistilnih napravah za odpadne vode.

V preglednicah 2 do 10 je primerjava med rezultati obravnavanega in alternativnega modela, ki so glede določitve dimenzij in drugih tehnološko relevantnih parametrov čistilne narave praktično enaki.

Predstavljeni alternativni model se razlikuje od modela ATV-A-3 v tem, da ločeno obravnava količino mineralnega in inertnega organskega onesnaženja, ki se v procesu čiščenja akumulira v aerobnem blatu čistilne naprave, in da z uvedbo koeficiente X_d (Eckenfelder, 1989) določi koncentracije $X_{v\theta}$ biološko razgradljivega dela in celotne koncentracije biološko aktivnega dela blata X_θ heterotrofov (biološko razgradljivi in inertni del heterotrofov). S tem so podane in opisane možnosti za določeno starost biološkega blata θ (dni), za kvantitativne preseje aerobne stabilizacije proizvedenega blata v kg O₂/kgVSS in za v anaerobnem reaktorju pridobljeni bioplín in električno energijo na populacijsko enoto ter njen pomen za energetsko bilanco in energetsko samoskrbo čistilnih naprav.

Obravnavani alternativni model se razlikuje od modela ATV-A-3 v naslednjem:

1. obravnavata tudi razgradljive organske delce nad 0,45 µm v okviru izmerjene obremenitve čistilne naprave z BPK₅. Nerezgradljive organ-

ske in mineralne delce s koncentracijo C_{ii} pa kot obremenitev čistilne naprave z inertnimi snovmi.

2. Z uvedbo člena X_d določi v proizvedeni organski masi biološkega blata koncentracijo razgradljivih $X_{v\theta}$ in $X_{n\theta}$ nerazgradljivih snovi.

- Določitev $X_{v\theta}$ omogoča določitev:
 - porabe kisika aerobnem reaktorju,
 - stopnje stabilizacije biološkega blata v mgO₂/X_θ(kgSSV/m³) heterotrofov,
 - organskega dela biološkega blata pri starostih biološkega blata θ
 - v reaktorjih pridobljene količine bioplina in energije iz primarnega blata usedalnikov in iz odvečnega aktivnega blata W_{θv} in koncentracije X_{θv}.

Po drugih za dimenzioniranje aerobnega reaktorja relevantnih podatkih pa so rezultati

alternativnega modela praktično pokrivajo z modelom ATV-A-3:

1. po potrebnih velikosti aerobnega biološkega reaktorja pri enaki obremenitvi čistilne naprave (preglednica 5),
2. po prirastu biološkega blata (preglednici 6 in 7),
3. po porabi kisika (preglednici 6 in 7), s tem da je poraba po alternativni metodni nekoliko nižja, ker je v endogeni respiraciji blata upoštevan le biološko razgradljivi del heterotrofov organskega dela blata.

11 • LITERATURA

- Eckenfelder, W. W., Industrial Water Pollution Control, McGraw-Hill, New York, 1989.
- Imhoff, K., Imhof, K. R., Taschenbuch der Stadtentwässerung, 29. Auflage, 1999.
- Imhoff, K., Imhof, K. R., Taschenbuch der Stadtentwässerung, 30. Auflage, 2007.
- Loll, U., Biogaspotenziale im Klaerschlamm und anderen biogenen Abfällen, Wasserwirtschaft, Abwasser-Abfälle, 48 Jahrgang, 10, 2001.
- Rismal, M., Zapiski predavanj, IZH-FGG, Ljubljana, 1979–1998.
- Walder, C., Lindtner, S., Proesl, A., Klegraf, F., Vasanthakumar, T., Weissenbacher, N., Adaptation of WWTP design parameters to warm climates using mass balancing of a full scale plant, 11th IWA Specialised Conference Design, Operation and Economics of Large Waste Water Treatment Plants, Budapest, 2011.